

# EFEITOS DE ESTRUTURAS DE POEIRA EM TORNO DE ANÃS BRANCAS

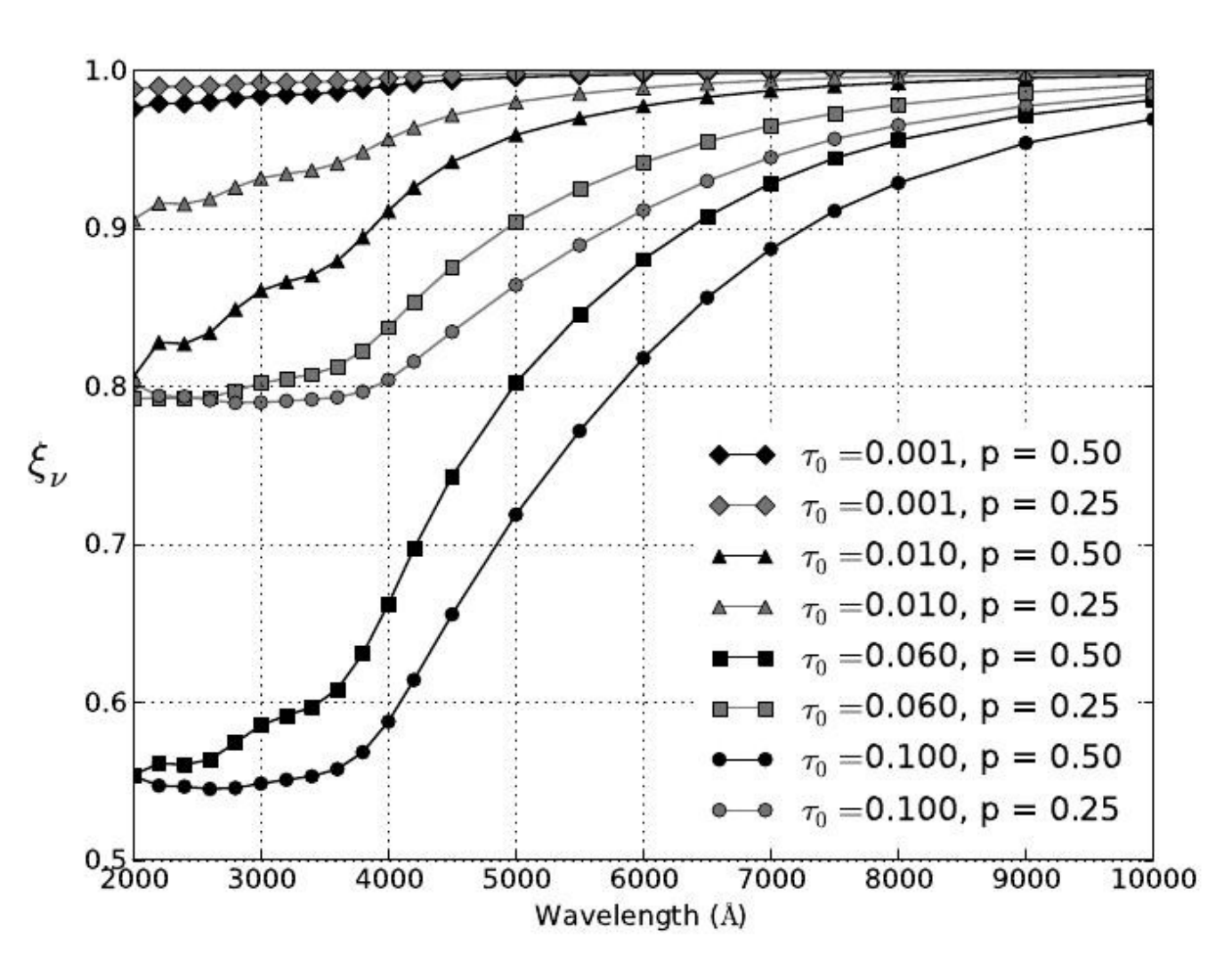
Herpich F. R.<sup>1</sup>, Kanaan A.<sup>1</sup>, Zabot A.<sup>1</sup>, Fraga L.<sup>2</sup>

- 1 Universidade Federal de Santa Catarina (UFSC), Brasil
- 2 Southern Astrophysical Research Telescope (SOAR), Chile



#### **INTRODUÇÃO**

Algumas anãs brancas (WD) apresentam excesso infravermelho (IR) em seu espectro. Zabot et al. (2009) propõe analisar essas estrelas na faixa do UV-próximo e óptico do espectro, afim de Dividimos os espectros dos objetos pelos de suas respectivas detectar efeitos de obscurecimento ou espalhamento da luz comparações e normalizamos o resultado. Na fig 3, mostramos emitida causados pelo disco. Na fig. 1 vemos alguns casos o resultado da divisão dos espectros de G29–38 nos quadros de limites. A análise é comparativa, onde usamos uma segunda 1 a 6 e de GD56 nos quadros 7 e 8. No quadro 9 temos a divisão WD, esta sem excesso IR, mas com propriedades similares ao de dois espectros modelos para temperaturas pouco diferentes, objeto, fasendo a divisão do espectro do objeto pelo da WD de mantendo os parâmetros restantes inalterados. comparação.



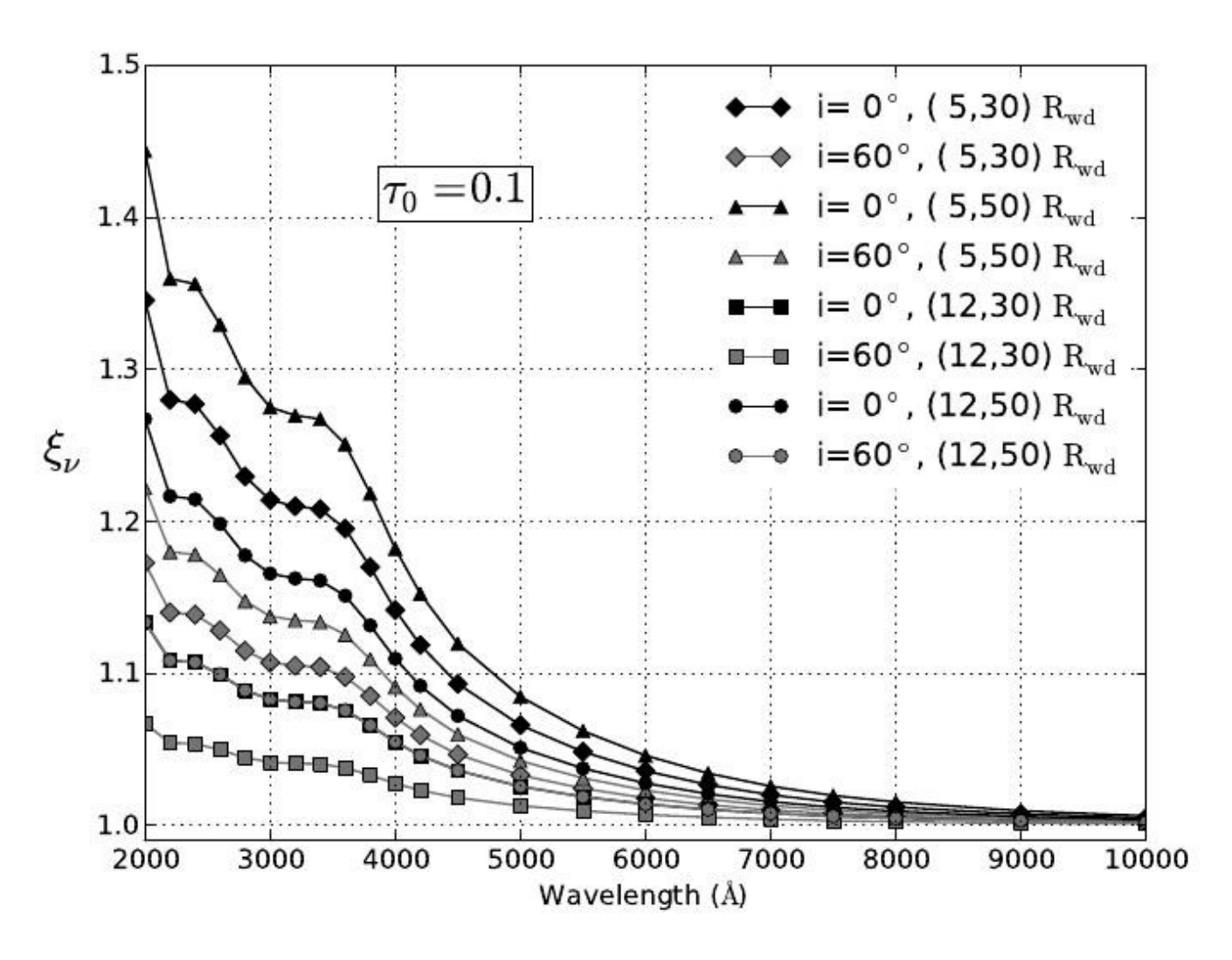


Figura 1: Ilustração da divisão do espectro de uma WD que possui disco pelo de sua comparação. Na esquerda observamos efeitos de obscurecimento e no painel da direita temos efeito de espalhamento (Zabot et al., 2009).

#### **OBSERVAÇÕES**

Os dados foram obtidos com o espectrógrafo Goodman do SOAR na noite de 08/12/2008, compreendendo espectros de G29–38 e GD 56 (objetos que apresentam excesso IR) e suas **DISCUSSÃO** respectivas comparações, Ross 548 e HZ4. Na fig. 2 mostramos os espectros reduzidos através da *task ccdproc* e calibrados em fluxo e comprimento de onda utilizando a task doslit, ambas tarefas do iraf.

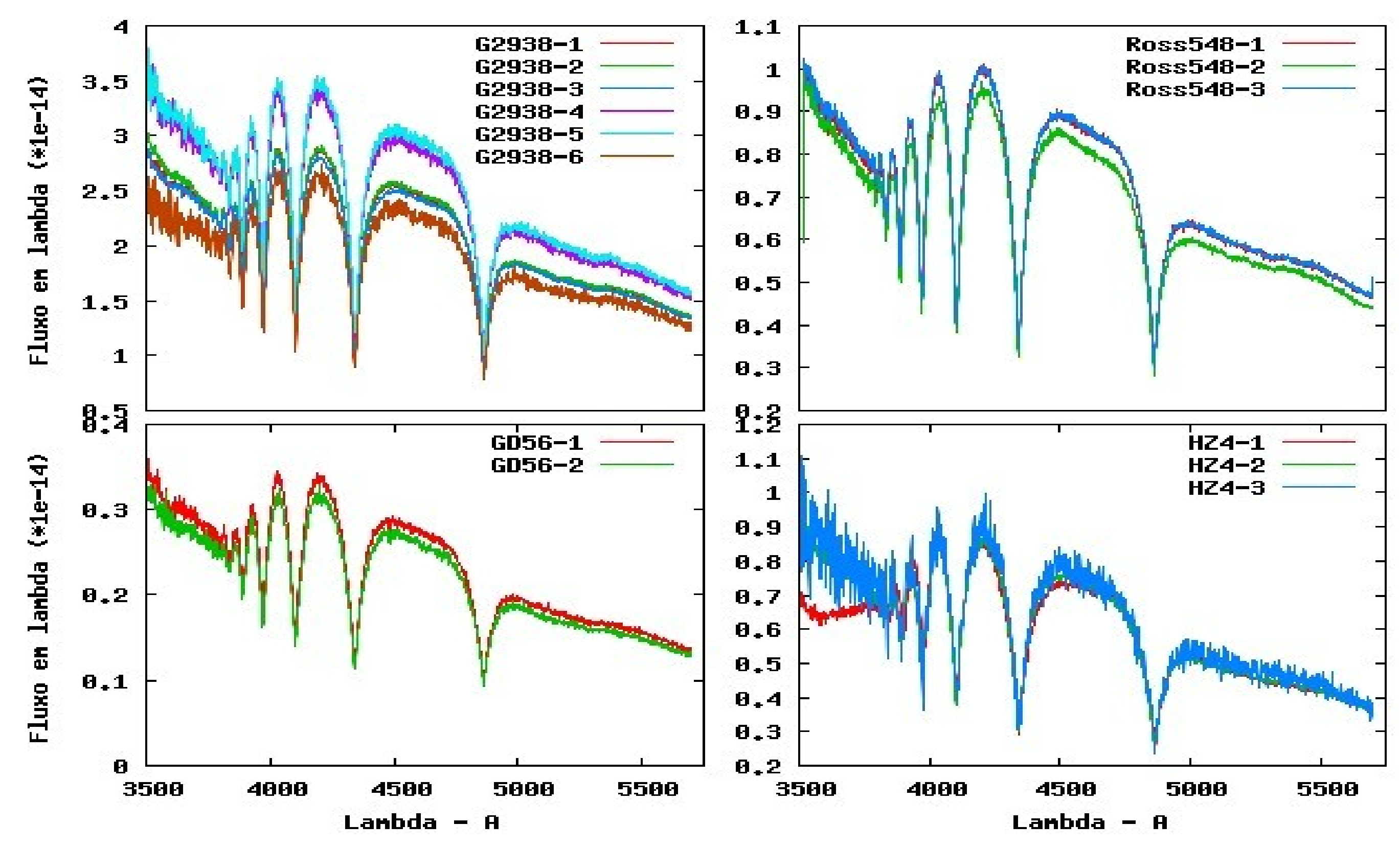


Figura 2: Espectro das WD's com disco (painéis da esquerda) e de suas comparações (painéis da direita).

Vemos facilmente que dois espectros (Ross548-2 e HZ4-1) apresentam problemas oriundos do momento da observação, Zabot, A., Kanaan, A., and Cid Fernandes, R. 2009, ApJ 704, L93.

possivelmente variação na sensibilidade do equipamento e/ou nas condições do céu.

### PRIMEIROS PROCEDIMENTOS

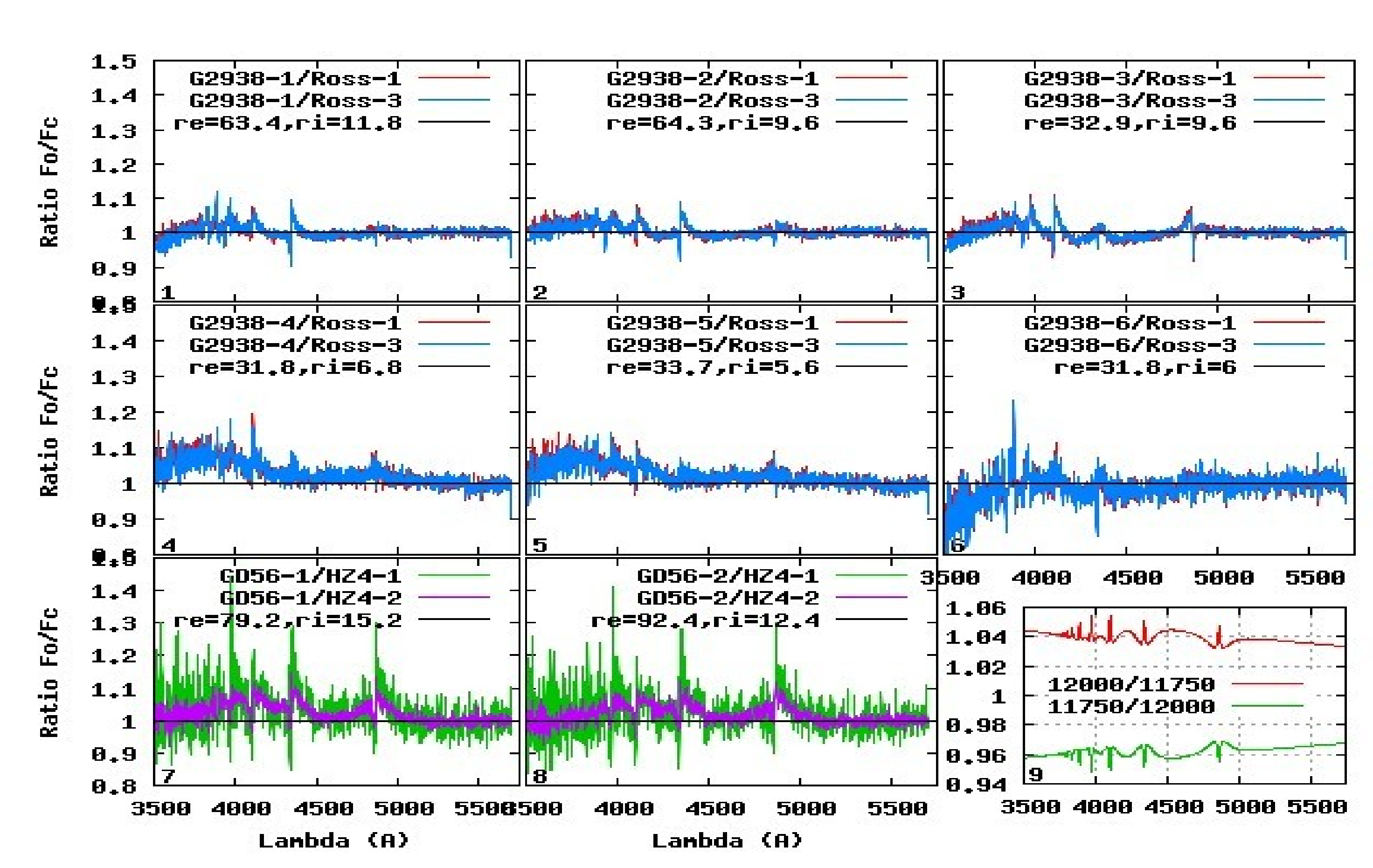


Figura 3: Dispõe-se nos quadros de 1 a 6 o resultado da divisão dos espectros de G29-38 pelos de Ross 548. Nos quadros 7 e 8 mostra-se a divisão dos espectros de GD56 pelos de HZ4. A linha preta indica o ajuste do modelo mantendo-se alguns parâmetros fixos ea legenda indica os raios externo e interno resultantes.

Como todas as curvas mantém seu nível praticamente constante em toda a região espectral, não é possível aplicar o modelo de maneira satisfatória, pois os erros são muito elevados. Fixando alguns parâmetros e fazendo isso de modo rotativo, pudemos estimar faixas de valores possíveis. Esses valores são mostrados na tabela 1.

Tabela 1: Faixa de valores possíveis para cada parâmetro. WD – nome da anã branca; p – fator de obscurecimento do fluxo da estrela;  $\tau_0$  – profundidade óptica do disco; i – inclinação do disco relativo à linha de visada;  $R_e$  – raio externo do disco; R<sub>i</sub> - raio interno do disco.

| WD     | p             | $\tau_{0}$  | i                           | R <sub>e</sub> (R <sub>wd</sub> ) | $R_i$ ( $R_{wd}$ ) |
|--------|---------------|-------------|-----------------------------|-----------------------------------|--------------------|
| G29-38 | 0.009 - 0.012 | 0.06 - 0.09 | $74^{\circ}$ – $80^{\circ}$ | 32 - 95                           | 5 - 15             |
| GD 56  | 0.010 - 0.015 | 0.01 - 0.02 | $74^{\circ} - 78^{\circ}$   | 40 - 97.6                         | 5.5 - 25,6         |

Esses são valores ainda muitos preliminares, necessitando de uma análise mais detalhada onde corrigimos por parâmetros como temperatura e  $\log g$  das estrelas comparadas.

## <u>REFERÊNCIAS</u>





